



کنترل سیستم الکترو-هیدرولیک تک محوره با کنترل کننده مدل‌گزشی ارتقاء یافته توسط جبران‌سازهای فازی موازی

سعید برغدان^۱، محمدعلی بادامچی‌زاده^{۲*}، محمد رضا جاهد مطلق^۳

۱- دانشجوی دکتری، مهندسی برق، دانشگاه آزاد اسلامی واحد علوم و تحقیقات، تهران

۲- استاد، مهندسی برق، دانشگاه تبریز، تبریز

۳- دانشیار، مهندسی برق، دانشگاه علم و صنعت ایران، تهران

* البرزی، صندوق پستی ۵۱۵۶۷۵۳۳۸۹

اطلاعات مقاله

مقاله پژوهشی کامل

دریافت: ۰۸ دی ۱۳۹۵

پذیرش: ۱۸ بهمن ۱۳۹۵

ارائه در سایت: ۰۴ اسفند ۱۳۹۵

کلید واژگان:

کنترل مدل‌گزشی

جبران‌ساز فازی

سیستم فازی موازی

قانون تطبیق

سیستم الکترو-هیدرولیک

تکنیک کنترل مدل‌گزشی یکی از شناخته شده‌ترین روش‌های کنترل غیرخطی می‌باشد. این روش مزایایی نظیر مقاومت در برابر نامعینی‌ها دارد. اما پدیده وزوز عمل کرد سیستم حلقه بسته را محدود می‌کند. برای افزایش کارآیی آن از جبران‌ساز فازی در کنار این روش استفاده می‌کنند. بردار وزن‌های جبران‌ساز فازی با استفاده از قوانین تطبیقی بروزرسانی می‌شوند. نزخ تطبیق همانند یک ضربه کنترلی عمل می‌کند. فنازه هرچه بزرگ‌تر انتخاب گردد سرعت تطبیق بردار وزن‌ها افزایش یافته و در نتیجه عمل کرد سیستم حلقه بسته بهبود می‌یابد. اما در نتیجه آن، امکان ناپایداری سیستم حلقه بسته هم افزایش می‌یابد. در این مقاله پیشه‌های شده که از یک سیستم فازی موازی در کنار سیستم فازی اصلی استفاده شود و بدین طریق، نحوه تطبیق بردار وزن‌های سیستم فازی اصلی کنترل گردد. علاوه بر این مدل غیرخطی یک سیستم الکترو-هیدرولیکی به عنوان مثال موردی معرفی شده است. در انتهای طی شبیه‌سازی‌های عددی عمل کرد سیستم حلقه بسته و کارآیی روش‌های پیشنهادی بررسی شده است.

Single-rod electro-hydraulic servo system control with sliding mode controller improved by parallel fuzzy compensators

Saeed Barghandan¹, Mohammad Ali Badamchizadeh^{2*}, Mohammad Reza Jahed-Motlagh³

۱- Faculty of Engineering, Science and Research Branch, Islamic Azad University, Tehran, Iran

۲- Faculty of Electrical and Computer Engineering, University of Tabriz, Tabriz, Iran

۳- Computer Engineering Department, Iran University of Science and Technology, Tehran, Iran

* P.O.B. 5156753389, Tabriz, Iran mbadamchi@tabrizu.ac.ir

ARTICLE INFORMATION

Original Research Paper

Received 28 December 2016

Accepted 06 February 2017

Available Online 22 February 2017

Keywords:

Sliding mode control

Fuzzy compensator

Parallel fuzzy system

Adaptation rule

Electro-hydraulic system

ABSTRACT

Sliding mode control technique is one of the well-recognized non-linear control methods. This method has an advantage like robustness against uncertainties. However, the performance of closed loop system is constrained by chattering phenomenon. To increase its efficiency, a fuzzy compensator is used along with this method. The fuzzy compensator weights are updated by using adaptive rules. The adaptation rate acts as a controlling coefficient. Therefore, the bigger amount of it increases the adaptation speed of weights which leads to the improvement of closed loop system performance. As a result, the probability of instability of closed loop system increases, too. In this study, it has been proposed to use a parallel fuzzy system along with the main fuzzy system in order to control the adaptation of its weights. Moreover, a non-linear model of the electro-hydraulic system has been introduced as a case study. Finally, the performance of closed loop system and the efficiency of the proposed methods have been investigated by using numerical simulations.

سیستم تعلیق هیدرولیکی، سیستم‌های انتقال قدرت مکانیکی و صنایع هواپیما بسیار مورد توجه قرار گرفته‌اند [۱-۳]. قابلیت اطمینان، مصرف انرژی پایین، کنترل پذیری دقیق، بالا بودن قدرت و پاسخ‌دهی سریع آن‌ها دلیل گرایش روز افزون به این گونه سیستم‌ها می‌باشد.

سیستم‌های الکترو-هیدرولیک همانند بسیاری از سیستم‌های مکانیکی دارای رفتار غیرخطی و نامعینی هستند (نظیر: عمل گر غیرخطی هیدرولیک،

به تحقیق، برای حرکت بازوهای ربات‌های صنعتی قدرت خیلی زیادی لازم است. محرک‌های هیدرولیکی نسبت به سایر انواع محرک‌ها دارای مزایای متعددی می‌باشند، از آن جمله: توانایی ایجاد گشتاور و نیروی مکانیکی زیاد. از این‌رو، امروزه سیستم‌های الکترو-هیدرولیک در کاربردهای صنعتی متعددی نظیر کنترل روبات‌های صنعتی، ماشین‌آلات صنعتی، صنایع خودروسازی،

Please cite this article using:

S. Barghandan, M. A. Badamchizadeh, M. R. Jahed-Motlagh, Single-rod electro-hydraulic servo system control with sliding mode controller improved by parallel fuzzy compensators, *Modares Mechanical Engineering*, Vol. 17, No. 2, pp. 377-384, 2017 (in Persian)

برای ارجاع به این مقاله از عبارت ذیل استفاده نمایید:

بیان گر حجم محفظه i -ام، A_i ، مساحت محفظه (پیستون i -ام)، β_e ضریب حجمی، C_{tm} ضریب نشت داخلی، C_{em} ضریب نشت خارجی، P_i فشار سیلندرهای اول و دوم، و Q_i نرخ دیوی ورودی یا خروجی از سیلندرهای اول و دوم هستند. مقادیر کلیه پارامترها در مرجع [18] ارائه شده‌اند. در روابط (2) و (3) عبارات Q_1 و Q_2 با معادلات زیر قابل بیان هستند:

$$\Delta P_1 = \begin{cases} P_s - P_1 & x_v \geq 0 \\ P_1 - P_r & x_v < 0 \end{cases} \quad Q_1 = k_q x_v \sqrt{\Delta P_1} \quad (4)$$

$$\Delta P_2 = \begin{cases} P_2 - P_r & x_v \geq 0 \\ P_s - P_2 & x_v < 0 \end{cases} \quad Q_2 = k_q x_v \sqrt{\Delta P_2} \quad (5)$$

که در آن x_v جابجایی دریچه شیر برقی یا همان سیگنال کنترل u فشار منبع مایع هیدرولیک، P_r فشار مخزن نگهداری مایع هیدرولیک برگشتی از سیستم و k_q ضریب تقویت شیر برقی می‌باشد. اگر متغیرهای جدید Q و P به صورت $Q = Q_1 + Q_2 = k_q(\sqrt{\Delta P_1} + \sqrt{\Delta P_2})u$ و $P = P_1 - P_2$ تعریف گردد و فرض کنیم که $C_{em1} = C_{em2} = C_{em}$ باشد، آنگاه با کم کردن رابطه (3) از (2)، روابط (1) الی (3) با کمی ساده سازی به صورت زیر قابل نمایش هستند:

$$\ddot{x}_L = -\frac{b}{m} \dot{x}_L + \frac{A}{m} P + d \quad (6)$$

$$\dot{P} = -2 \frac{\beta_e C_{tm}}{V_h} P - \frac{A x_L}{V_h} (\dot{P}_1 + \dot{P}_2) + \frac{\beta_e k_q}{V_h} (\sqrt{\Delta P_1} + \sqrt{\Delta P_2}) u \quad (7)$$

با کمی اغماض ثابت زمانی رابطه (7) را می‌توان به صورت زیر نوشت:

$$\frac{1}{\tau} = 2 \frac{\beta_e C_{tm}}{V_h} \quad (8)$$

با توجه به معادلات (7) و (8) می‌توان با کمی اغماض رابطه بین اختلاف فشار سیلندرها و سیگنال کنترل را به صورت زیر در نظر گرفت:

$$P = \alpha u \quad (9)$$

که در آن $\alpha = 3 * 10^{-8}$ است. حالا رابطه (6) به صورت زیر قابل بازنویسی می‌باشد:

$$\ddot{x}_L = -\frac{b}{m} \dot{x}_L + \frac{A}{m} \alpha u + f \quad (10)$$

که در آن f بیان گر کلیه نامعینی‌ها، غیرخطی‌گری‌های مدل نشده و اختشاشات خارجی می‌باشد. با توجه به رابطه (7) قوام کنترل کننده از اهمیت بسیار زیادی برخوردار است چون غیرخطی‌گری‌های زیادی در فرآیند طراحی کنترل کننده نادیده گرفته شده‌اند.

3- کنترل کننده‌های پیشنهادی

دیاگرام بلوکی سیستم کنترل این سیستم الکتروهیدرولیک در "شکل 1" نشان داده شده است. مطابق شکل، در این سیستم حلقة بسته، مکانیزم کنترلی دارای یک سیستم دو حالت است. زمانی که لازم است ارابه به سمت چپ حرکت گند سیلندر دوم پر و سیلندر اول تخلیه می‌شود و بر عکس زمانی که لازم است ارابه به سمت راست حرکت گند سیلندر اول پر و سیلندر دوم تخلیه می‌شود.

در این مقاله، دو نوع کنترل کننده مورد بررسی واقع شده و طی شبیه‌سازی کارآیی هر یک از آن‌ها بررسی و با هم مقایسه شده است. اولین کنترل کننده مبتنی بر تکنیک مدلغزشی بوده و مجهز به یک جبران‌ساز فازی است¹ و دومین تکنیک هم از یک جبران‌ساز فازی موازی بهره جسته است².

3-1- کنترل کننده مدلغزشی با جبران‌ساز فازی تطبیقی

با توجه به تکنیک طراحی کنترل کننده مدلغزشی، با تعریف سیگنال خط

نامعینی‌های ناشی از تراکم‌پذیری، نشتی‌های داخلی و خارجی، اشباع سیگنال‌ها، و اصطکاک چسبندگی، این گونه عوامل عمل کرد سیستم‌های الکتروهیدرولیکی را تحت تاثیر قرار می‌دهند. از این رو تئوری‌های کنترل متعددی روی این سیستم‌ها پیاده شده است [10-4]. اما کنترل کننده‌های غیرخطی مبتنی بر تکنیک مدلغزشی، به خاطر غیرخطی بودن سیستم‌های الکتروهیدرولیکی، و نیز وجود نامعینی‌های مدل نشده و اغتشاشات خارجی، برای آنها پیشنهاد مناسبی به نظر می‌رسند [11-13]. ولی به خاطر عدم سازگاری با دینامیک‌های سیستم تحت کنترل و نیز ظهور پدیده وزوز، عملکرد سیستم حلقة بسته محدود می‌شود [14]. برای افزایش کارآیی و بهبود عمل کرد سیستم حلقة بسته روش‌های متعددی پیشنهاد شده که یکی از آنها استفاده از جبران ساز تطبیقی فازی در کنار این روش می‌باشد. بکارگیری سیستم‌های فازی مزایایی دارد [15-17]. بردار وزن‌های این جبران‌ساز فازی با استفاده از قوانین تطبیقی بروز رسانی می‌شود.

در سیستم‌های تطبیقی نرخ تطبیق همانند یک ضریب کنترلی عمل می‌کند بنابراین هرچه بزرگ‌تر انتخاب گردد سرعت تطبیق بردار وزن‌های جبران‌ساز فازی افزایش می‌یابد و در نتیجه عمل کرد سیستم حلقة بسته نیز بهبود می‌یابد. اما در اثر افزایش سرعت تطبیق، امکان افزایش ناگهانی بردار وزن‌های سیستم فازی و در نتیجه ناپایداری سیستم حلقة بسته افزایش می‌یابد. برای تضمین پایداری سیستم حلقة بسته، در این مقاله پیشنهاد می‌شود که از یک سیستم فازی مشابه سیستم فازی اصلی و به صورت موازی با آن استفاده گردد تا نحوه تطبیق بردار وزن‌های آن کنترل شود.

در ادامه، چون سیستم‌های الکتروهیدرولیک در بسیاری از ربات‌ها و سیستم‌های صنعتی نقش بر جسته‌ای دارند، در بخش دوم این مقاله مدل غیرخطی یک سیستم الکتروهیدرولیک تک محوره به عنوان مثال موردی معروف شده است. پس از معرفی کنترل کننده‌های مدنظر در بخش سوم مقاله، در بخش چهارم آن، شبیه‌سازی سیستم تحت کنترل به همراه کنترل کننده‌های پیشنهادی ارائه و در نهایت نتایج بررسی شده است.

2- سیستم الکتروهیدرولیک

"شکل 1" شماتیک کلی یک سیستم الکتروهیدرولیک تک محوره را نشان می‌دهد. این سیستم یک محرك غیرخطی است [18].

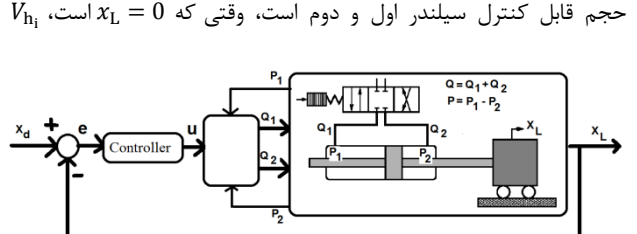
هدف این مقاله، کنترل موقعیت یک محوره غیرخطی متصل است. این سیستم الکتروهیدرولیک غیرخطی به صورت زیر قابل مدل‌سازی است:

$$m \ddot{x}_L = P_1 A_1 - P_2 A_2 - b \dot{x}_L + d \quad (1)$$

$$\frac{V_1}{\beta_e} \dot{P}_1 = -A_1 \dot{x}_L - C_{tm}(P_1 - P_2) - C_{em1}(P_1 - P_r) + Q_1 \quad (2)$$

$$\frac{V_2}{\beta_e} \dot{P}_2 = A_2 \dot{x}_L + C_{tm}(P_1 - P_2) - C_{em2}(P_2 - P_r) - Q_2 \quad (3)$$

در روابط (1) الی (3) پارامتر b ضریب میرایی، $V_i = V_{h_i} \pm A_i x_L$ ، $i = 1, 2$ و V_{h_i} حجم قابل کنترل سیلندر اول و دوم است، وقتی که $x_L = 0$ است،



شکل 1 سیستم الکتروهیدرولیک در حلقة کنترل

¹ Adaptive Fuzzy Sliding Mode Controller (AFSMC)

² Adaptive Fuzzy Sliding Mode Controller with Parallel fuzzy system (AFSMC-P)

مهندسی مکانیک مدرس، اردبیله‌شیت ۱۳۹۶، دوره ۲، شماره ۲

نمایش داده شده است. حلقه کنترل توسط یک کنترل کننده مدلغزشی بسته می‌شود. سطح لغزش و مشتق آن، به سیستم فازی اصلی ارسال می‌شود. در سیستم فازی اصلی، ابتدا سطح لغزش و مشتق آن، فازی‌سازی شده و سپس بردار Φ محاسبه می‌گردد. در انتها مقدار عبارت $\hat{C}^T\Phi$ محاسبه شده و از مقدار سیگنال کنترل تولیدی توسط کنترل کننده مدلغزشی کاسته می‌شود. در نهایت سیگنال کنترلی $u(t)$ برای اعمال به سیستم تحت کنترل، توسط رابطه (14) محاسبه می‌گردد. در هر بار نمونه‌برداری، قانون تطبیق، بردار وزن‌های \hat{C} را به روزرسانی می‌کند.

2-3- کنترل کننده مدلغزشی با جبران‌سازهای فازی تطبیقی موازی
در فرآیند طراحی کنترل کننده AFSMC، از تقریب بخش نامعین سیستم و برای جبران خطای این تقریب، از یک جبران‌ساز فازی استفاده شد. اما روش سنتی کنترل تطبیقی مطرح شده در قضیه ۱، به منظور به روزرسانی مقاوم پارامترها کافی نیست. مثلاً اگر به منظور افزودن سرعت پاسخ‌دهی سیستم حلقه بسته، مقدار نرخ تطبیق بزرگ اختیار شود، واضح است که فرآیند تطبیق مقاوم نبوده و امکان دارد ناپایدار شده و در نتیجه بردار وزن‌های توابع عضویت بخش تالی سیستم فازی دارای تغییرات شدیدی شده و حتی به مقداری بسیار بزرگ سوق داده شوند و در نهایت سیستم حلقه بسته ناپایدار شود.

فلذا پیشنهاد می‌شود برای مقاوم‌سازی فرآیند تطبیق و مقابله با افزایش شدید و ناخواسته بردار وزن‌های سیستم فازی اصلی، یک سیستم فازی موازی مشابه، در کنار آن قرار داده شود. سپس سرعت و دامنه تغییرات وزن‌های آن کنترل گردد و در نهایت با بهره‌گیری از توابع لیاپانوف مناسب، پایداری سیستم حلقه بسته تضمین شود. در این تکنیک بردار وزن‌های بخش تالی سیستم فازی اصلی (C^k ها) و ادار خواهند شد که از بردار وزن‌های

بخش تالی سیستم فازی موادی (P^k ها) تعیین کنند.
به منظور ایجاد قوانین تطبیق برای این سیستم‌های فازی اصلی و موادی، خطای خروجی آن‌ها را به صورت $\epsilon = \hat{C}^T\Phi - \tilde{P}^T\Phi = \tilde{C}^T\Phi - \epsilon$ تعریف کرده و قوانین تطبیق اصلاح شده را برای بردار وزن‌های این دو سیستم فازی به صورت روابط (16) و (17) در نظر بگیرید.

$$\dot{\hat{C}} = \begin{cases} \beta(s\Phi - \Phi\alpha\epsilon + \zeta_1(\hat{P} - \tilde{C})) - \rho|s|\hat{C} & \|\epsilon\| > \delta \\ \beta(s\Phi + \zeta_2(\hat{P} - \tilde{C})) - \rho|s|\hat{C} & \|\epsilon\| < \delta \end{cases} \quad (16)$$

$$\dot{\tilde{P}} = \begin{cases} \sigma(\Phi\alpha\epsilon + \zeta_4(\tilde{P} - \hat{P}) - \zeta_3\hat{P}) & \|\epsilon\| > \delta \\ \sigma(\zeta_4(\tilde{P} - \hat{P}) - \zeta_3\hat{P}) & \|\epsilon\| < \delta \end{cases} \quad (17)$$

قضیه 2: اگر روابط (16) و (17) به عنوان قانون تطبیقی برای بردار وزن‌های \hat{C} و \tilde{P} انتخاب شوند، آن‌گاه سیستم (10) با فرض سطح لغزش

و قانون کنترل (14) و با تعريف:

- $R = \|C\| \left[\frac{\rho}{\beta} |s| - 2\zeta_4 + \zeta_3 \right]$
- $N = |s| \{-\eta + f_e^{\max} + h_{\max} u_{\max}\} - \frac{\rho}{\beta} |s| \|\tilde{C}\|^2 - \alpha \|\epsilon\|^2$

و در صورت برقراری شروط زیر پایدار می‌شود:

- $|\tilde{f} - C^T\Phi| < f_e^{\max}$
- $\eta > f_e^{\max} + h_{\max} u_{\max}$
- $\|R\|^2 > 4\lambda_{\min}(Q)|N|$
- $W = \|[\tilde{C} \quad \tilde{P}]^T\| < \frac{\|R\| - \sqrt{\|R\|^2 + 4\lambda_{\min}(Q)|N|}}{2\lambda_{\min}(Q)}$

اثبات: برای مشاهده اثبات قضیه 2 به پیوست (3) مراجعه کنید.

آن $e = x_L - x_r$ و $\dot{e} = \dot{x}_L - \dot{x}_r$ و سپس با مشتق گیری از آن $\dot{e} + \lambda\dot{e} = \dot{s}$ و با برقراری شرط لغزش خواهیم داشت:

$$0 = \ddot{x}_L - \ddot{x}_r + \lambda\dot{e} \quad (11)$$

حال با جایگذاری رابطه (10) در آن:

$$0 = -\frac{b}{m}\dot{x}_L + \frac{A\alpha}{m}u + f - \ddot{x}_r + \lambda\dot{e} \quad (12)$$

و با فرض $0 < h_m = \frac{A\alpha}{m} < 1$ ، سیگنال کنترل به صورت زیر به دست می‌آید:

$$u(t) = \frac{1}{h_m} \left(\frac{b}{m}\dot{x}_L - f + \ddot{x}_r - \lambda\dot{e} + \eta \text{sign}(s) \right) \quad (13)$$

ثبت ۰ $< \eta$ یک پارامتر طراحی برای تضمین مقاوم بودن کنترل کننده مدلغزشی می‌باشد. چون مقدار $h_m > 0$ می‌باشد، هیچ نگرانی از عدم همگرائی سیگنال کنترل نخواهیم داشت. پیشنهاد می‌شود که مقدارتابع نامعلوم f را تقریب زده و برای جبران خطای این تقریب از یک جبران‌ساز تطبیقی فازی از نوع سوجنو مرتبه صفر $C^T\Phi$ استفاده کرد (پیوست ۱). در ادامه می‌توان با فرض $|f - \tilde{f} - C^T\Phi| < f_e^{\max}$ ، سیگنال کنترل را به صورت زیر نوشت:

$$u(t) = \frac{1}{h_m} \left(\frac{b}{m}\dot{x}_L - \tilde{f} - C^T\Phi + \ddot{x}_r - \lambda\dot{e} - \eta \text{sign}(s) \right) \quad (14)$$

که در آن قانون تطبیق برای بردار وزن‌های \hat{C} به صورت زیر انتخاب می‌گردد:

$$\hat{C} = \beta s\Phi - \rho|s|\hat{C} \quad (15)$$

در رابطه (15) ثابت $0 < \beta$ نرخ تطبیق بوده و $0 < \rho$ نیز پارامتری است که به طراحی کنترل کننده پایدارساز، توسط تئوری پایداری لیاپانوف کمک می‌کند.

قضیه 1: اگر رابطه (15) به عنوان قانون تطبیقی برای بردار وزن‌های \hat{C} انتخاب شود، آن‌گاه سیستم (10) با فرض سطح لغزش $s = \dot{e} + \lambda e$ و قانون کنترل (14) و با تعريف:

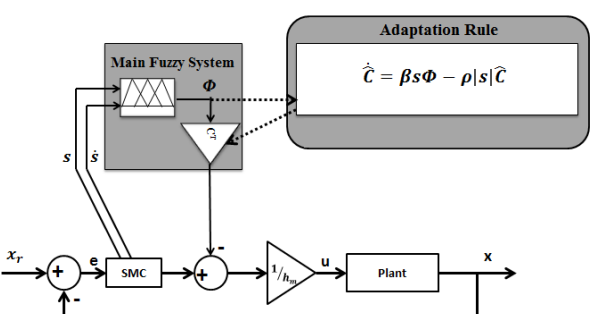
$$\bullet Y = \frac{\beta}{\rho} (\eta - f_e^{\max} - h_{\max} u_{\max})$$

و در صورت برقراری شروط زیر پایدار می‌شود:

- $|\tilde{f} - C^T\Phi| < f_e^{\max}$
- $\eta > f_e^{\max} + h_{\max} u_{\max}$
- $\|C\|^2 \geq 4Y > 0$
- $\|\tilde{C}\| < \frac{\|C\| - \sqrt{\|C\|^2 - 4Y}}{2}$

اثبات: برای مشاهده اثبات قضیه 1 به پیوست (2) مراجعه کنید. در ادامه "شکل 2" ساختار کنترل کننده مدلغزشی با جبران‌ساز فازی تطبیقی را نشان می‌دهد.

در "شکل 2" نحوه برقراری ارتباط بین عناصر سیستم حلقه بسته



شکل 2 کنترل کننده مدلغزشی با جبران‌ساز فازی تطبیقی

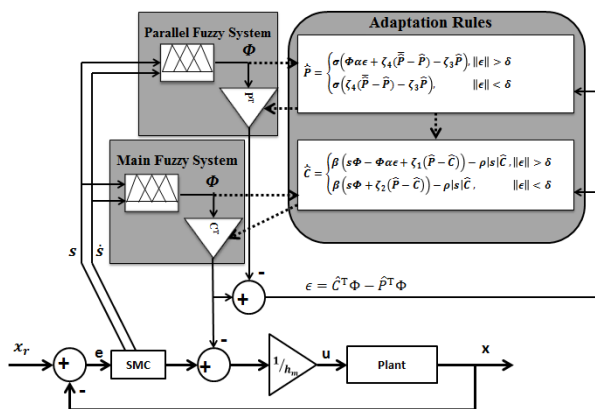


Fig. 3 Adaptive Fuzzy Sliding Mode Controller with Parallel fuzzy system (AFSMC-P)

شکل 3 کنترل کننده مدلغزشی با جبران‌سازهای فازی تطبیقی موازی

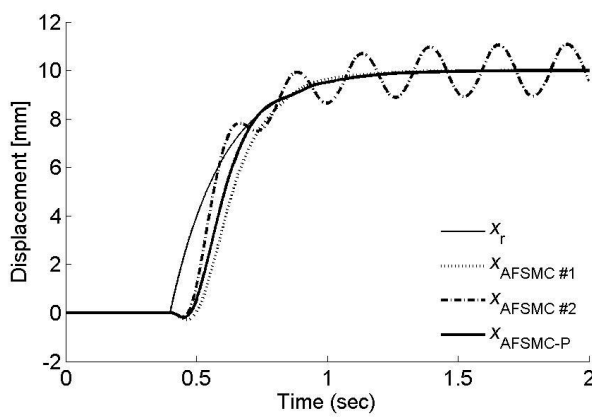


Fig.4 The desired trajectory and displacement of the cart connected to electro-hydraulic system

شکل 4 نمودار مسیر مطلوب و جابجایی اربابه متصل به سیستم الکترو هیدرولیک

شده توسط هر سه کنترل کننده برای مقایسه با هم رسم شده‌اند. در این سیستم حلقه بسته، سیگنال خروجی کنترل کننده، وارد بلوکی شده که این بلوک یک سیستم دو حالت است. زمانی که لازم است اربابه به سمت راست حرکت کند سیلندر ۱ پُر و سیلندر ۲ تخلیه می‌شود و برعکس زمانی که لازم است اربابه به سمت چپ حرکت کند سیلندر ۲ پُر و سیلندر ۱ تخلیه می‌شود. نمودار دبی ورودی به هر یک از سیلندرها که از روی سیگنال کنترل توسط این بلوک محاسبه شده‌اند، در "شکل‌های 7 و 8" رسم شده است.

"شکل‌های 9 و 10" هم تغییرات فشار هر یک از سیلندرها را نشان می‌دهند. تغییرات دیده شده در نمودار فشار، ناشی از تفاوت در دبی ورودی و خروجی سیلندرها می‌باشد. با توجه به رابطه (11) و "شکل 1" اختلاف بین این دو فشار یعنی مقدار $D_2 = P_1 - P_2$ باعث جابجایی اربابه می‌گردد.

"شکل 11" نیز نمودار سطوح لغزش ناشی از اعمال هر دو تکنیک

در ادامه "شکل 3" ساختار کنترل کننده مدلغزشی با جبران‌سازهای فازی تطبیقی موازی را نشان می‌دهد. در "شکل 3" نحوه برقراری ارتباط بین عناصر سیستم حلقه بسته نمایش داده شده است. در این تکنیک هم، حلقه کنترل توسط یک کنترل کننده مدلغزشی بسته می‌شود. سطح لغزش و مشتق آن، به هر دو سیستم فازی اصلی و موازی ارسال می‌شود. در سیستم‌های فازی اصلی و موازی، ابتدا سطح لغزش و مشتق آن، فازی‌سازی شده و سپس بردار Φ محاسبه می‌گردد. در انتها مقدار عبارت $\hat{C}^T \Phi$ و $\hat{P}^T \Phi$ محاسبه می‌شوند. مقدار خطای آموختش $\epsilon = \hat{C}^T \Phi - \hat{P}^T \Phi$ محاسبه شده و از آن برای ایجاد قوانین تطبیق استفاده می‌شود. مقدار عبارت $C^T \Phi$ از مقدار سیگنال کنترل تولیدی توسط کنترل کننده مدلغزشی کاسته می‌شود. در نهایت سیگنال کنترلی $(t) u$ برای اعمال به سیستم تحت کنترل، توسط رابطه (14) محاسبه می‌گردد. در هر بار نمونه‌برداری، قوانین تطبیق بردار وزن‌های \hat{C} و \hat{P} را به روزرسانی می‌کنند.

4- شبیه‌سازی

در این مقاله مدل یک سیستم الکتروهیدرولیک تک محوره [18] در نرم‌افزار مطلب شبیه‌سازی شده است. در این سیستم تحت کنترل، موقعیت اربابی متصل به یک محرك الکتروهیدرولیکی به عنوان خروجی در نظر گرفته شده است. دو کنترل کننده AFSMC و یک کنترل کننده AFSMC-P با

ضرایب کنترلی مشخص شده در جدول 1 در حلقه کنترل قرار داده شده‌اند.

"شکل 4" نمودار مسیر مطلوب و جابجایی اربابه را نشان می‌دهد. برای AFSMC افزایش سرعت پاسخ‌دهی سیستم حلقه بسته، در کنترل کننده AFSMC شماره دو نرخ تطبیق β را 8 برابر بزرگ‌تر از کنترل کننده AFSMC-P می‌گرداند. اگر بیش از این نرخ تطبیق افزایش سیستم حلقه بسته نوسانی شده است. اگر بیش از این نرخ تطبیق افزایش داده شود، سیستم حلقه بسته ناپایدار خواهد شد. چرا که با توجه به روابط (14) و (15) مقدار β (نرخ تطبیق) می‌تواند به عنوان بخشی از برهه کنترل کننده لحظه‌گرداند. اغلب در حین کنترل یک سیستم، مشتاقیم تا جایی که سیگنال کنترل و رفتار گذراي سیستم حلقه بسته اجازه می‌دهد، بهره کنترل کننده را افزایش دهیم. از طرفی، افزایش بهره کنترل کننده (β) می‌تواند روی رفتار سیستم حلقه بسته اثر گذارد. در این جا، افزایش بهره کنترل کننده، زمان برخاست و فرجهش را افزایش داده ولی موجب نوسانی شدن پاسخ سیستم حلقه بسته هم شده است (شکل 4). آشکار است که اگر بهره کنترل کننده نرخ تطبیق (نرخ تطبیق) بیش از این افزوده گردد پاسخ سیستم حلقه بسته ناپایدار خواهد شد. اما با استفاده از تکنیک AFSMC-P با وجود نرخ تطبیق بزرگ‌تر، پاسخ سیستم حلقه بسته بدون آن که نوسانی شود بهتر هم شده است.

در "شکل 5" نیز نمودار خطای ریدیابی مسیر مطلوب رسم شده است. با توجه به دامنه و نیز تغییرات این نمودار مشخص است که در اثر کاربرد سیستم فازی موازی در تکنیک AFSMC-P دینامیک خطای ریدیابی بسیار بهتر از تکنیک AFSMC می‌باشد. در "شکل 6" سیگنال کنترل محاسبه

جدول 1 پارامترهای کنترل کننده

Table 1 Controller parameters

	α	ζ_4	ζ_3	ζ_2	ζ_1	δ	σ	β	ρ	η	λ	پارامتر
-	-	-	-	-	-	-	-	10	80	0.01	100	AFSMC #1
-	-	-	-	-	-	-	-	80	80	0.01	100	AFSMC #2
2	ζ_3	$2 \times \frac{\zeta_1}{4}$	$2 \times \zeta_1$	0.1	0.01	β	80	80	0.01	100	AFSMC-P	مقدار

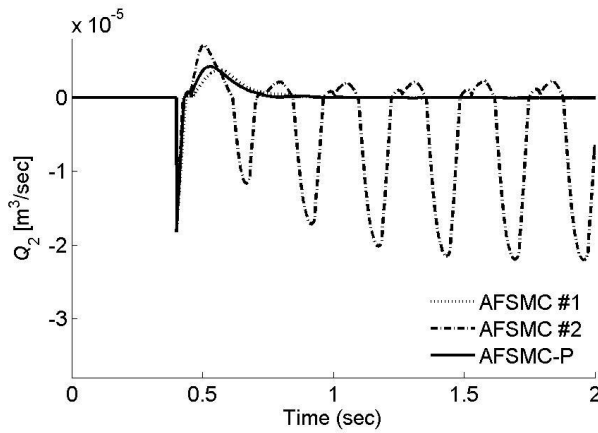


Fig.8 Second cylinder supplied flow

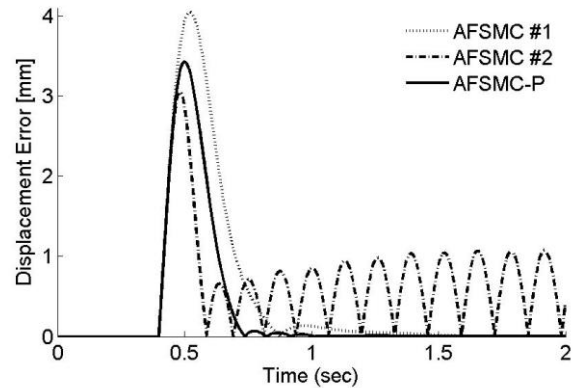


Fig.5 The absolute tracking error of desired trajectory

شکل 5 خطای ردیابی مسیر مطلوب

شکل 8 دبی ورودی به سیلندر دوم

شکل 9 فشار در سیلندر اول

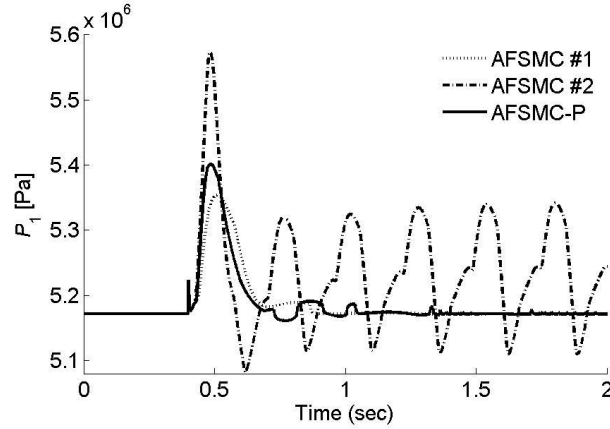


Fig.9 Pressure in first cylinder

شکل 9 فشار در سیلندر اول

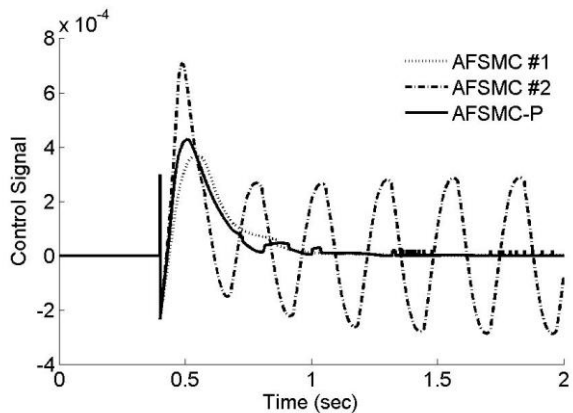


Fig.6 Control signal

شکل 6 سیگنال کنترل

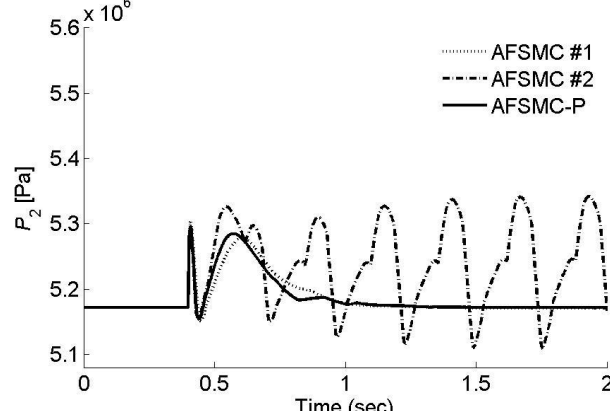


Fig. 10 Pressure in second cylinder

شکل 10 فشار در سیلندر دوم

جلوگیری گشته است.

5- نتیجه‌گیری

در این مقاله دو تکنیک AFSMC و AFSMC-P مبتنی بر تئوری کنترل مدلگذشی کلاسیک، روی یک سیستم الکتروهیدرولیک اعمال شده‌اند.

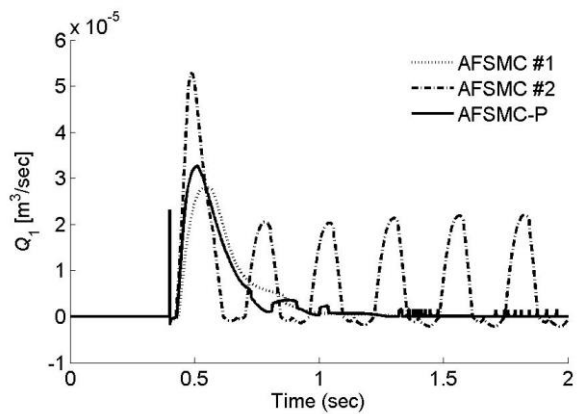


Fig. 7 دبی ورودی به سیلندر اول

شکل 7 دبی ورودی به سیلندر اول

کنترل را نشان می‌دهد. آشکار است که سطح لغش ناشی از به کارگیری AFSMC-P دینامیک بهتری را از خود نشان داده است.

چون نمایش تک‌تک عناصر بردار وزن‌های سیستم‌های جبران‌ساز فازی دشوار است، بنابراین بیشینه قدر مطلق بردار وزن‌های هر سه سیستم جبران‌ساز فازی محاسبه و در "شکل 12" رسم شده است. آشکار است که در تکنیک AFSMC-P تغییرات بردار وزن‌های سیستم فازی اصلی توسط بردار وزن‌های سیستم فازی موازی کنترل شده و در نتیجه از نوسانات آن

یک SMC و تغییرات دینامیکی سیستم تحت کنترل استفاده می‌شود. این طرح کنترلی مفهوم مدلغزشی را با قاعده تطبیقی منطق فازی می‌آمیزد. برای برقراری و تنظیم پیوسته قواعد سیستم فازی به منظور پاسخگویی به رفتارهای غیرخطی و متغیر با زمان سیستم تحت کنترل، استراتژی AFSMC توانایی پادگیری برخط دارد. اجزا عده و اصلی یک کنترل کننده فازی عبارتند از: یک مجموعه از قواعد زبانی کنترل فازی و یک موتور استنتاج برای تفسیر این قواعد. این قواعد فازی بین داشت کنترل زبانی یک فرد خبره و استراتژی‌های کنترل اتوماتیک، رابطه‌ای برقرار می‌کند.

قواعد فازی سوجنو مرتبه صفر بکار رفته در این مقاله، به دو قسمت مقدمه و تالی تقسیم می‌شوند که صورت کلی آن‌ها به صورت زیر است:

$$\text{اگر } s \text{ برابر } A_i \text{ و } \dot{s} \text{ برابر } B_j \text{ باشند آنگاه } u = C^k \text{ است.} \quad (1-1)$$

توجه داشته باشید که سیگنال‌های ورودی بین ۱ و -۱ نرمالیزه شده‌اند.

همان طور که از رابطه (1-1) مشخص است دو ورودی برای سیستم فازی، شامل سطح لغزش و مشتق آن خواهند بود. در این مقاله $i=1, \dots, 7$ و $j=1, \dots, 7$ راست زیرا برای هر کدام از دو ورودی (سطح لغزش و مشتق آن) ۷ تابع عضویت مثلثی در نظر گرفته شده است. پس در مجموع سیستم فازی ۴۹ قاعده خواهد داشت. بنابراین $m=49$ و $k=1, \dots, 49$ می‌باشند. برای کاهش حجم محاسبات، توابع عضویت بخش فازی‌ساز، یعنی A_i ها و B_j ها، مثلثی هستند. درجه عضویت s یا \dot{s} در هر یک از آن‌ها از رابطه (2-1) به دست می‌آیند:

$$\mu_{A \text{ or } B}^i(q) = \frac{1}{b_i}(-|q - a_i| + b_i), q = s \text{ or } \dot{s} \quad (2-1)$$

در این رابطه a_i ها و b_i پارامترهای این توابع عضویت مثلثی می‌باشند.

درجه فعلی شدن هر قاعده توسط رابطه (3-1) به دست می‌آید:

$$\mu^k(s, \dot{s}) = \mu_A^i(s) * \mu_B^j(\dot{s}) \quad (3-1)$$

که در آن $i=1, \dots, 7$ ، $j=1, \dots, 49$ است. بنابراین $k=1, \dots, 49$ خواهد بود. برای

محاسبه سیگنال خروجی از رابطه زیر استفاده می‌شود:

$$u_{SF} = \sum_{i=1}^m \mu^i C^i = \sum_{i=1}^m \phi_i C^i = C^T \Phi, \phi_i = \frac{\mu^i}{\sum_{i=1}^m \mu^i} \quad (4-1)$$

که در آن Φ برداری ۴۹ عضوی از ϕ_i ها بوده و C هم برداری ۴۹ عضوی شامل وزن‌های بخش تالی قواعد فازی است. مولفه‌های این بردار یعنی C^k ها اعدادی ثابت هستند و مقدار اولیه برای آن‌ها صفر در نظر گرفته شده است.

7- پیوست (2)-اثبات قضیه ۱

اگر سطح لغزش به صورت $s = \ddot{e} + \lambda e$ در نظر گرفته شود. مشتق آن به صورت زیر قابل بیان است:

$$\dot{s} = \ddot{e} + \lambda \dot{e} \quad (1-2)$$

اگر x_r مقدار مطلوب x_L باشد با جایگذاری $\ddot{x}_L - \ddot{x}_r = \ddot{e}$ (مشتق دوم خطأ) در رابطه فوق، رابطه زیر به دست می‌آید:

$$\dot{s} = \ddot{x}_L - \ddot{x}_r + \lambda \dot{e} \quad (2-2)$$

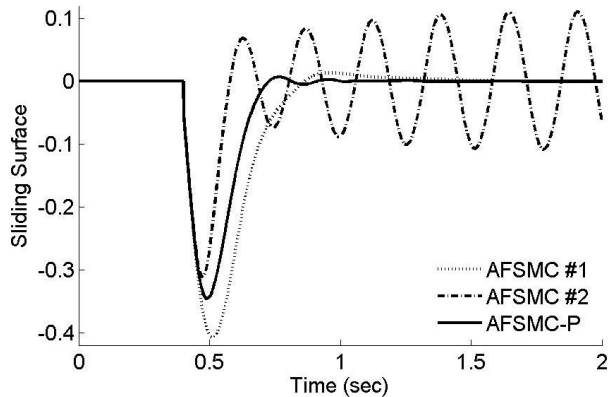
با عنایت به رابطه زیر:

$$\tilde{f} = f - \hat{f} \quad (3-2)$$

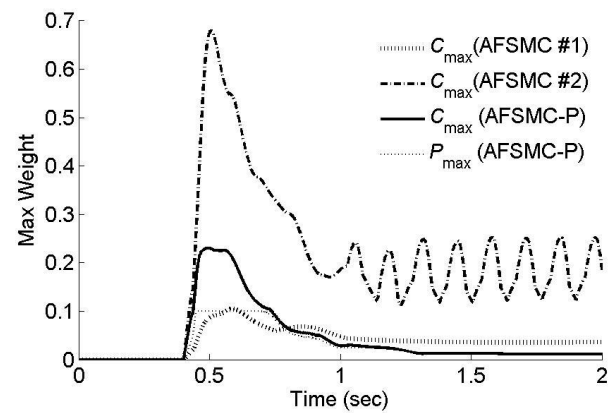
و با توجه به این‌که رابطه سیگنال کنترل به صورت زیر محاسبه شده است:

$$u(t) = \frac{1}{h_m} \left(\frac{b}{m} \dot{x}_L - \hat{f} - C^T \Phi + \ddot{x}_r - \lambda \dot{e} - \eta \text{sign}(s) \right) \quad (4-2)$$

و نیز با توجه به این‌که (سیستم تحت کنترل) رابطه (10) به صورت زیر قابل بیان است:



شکل ۱۱ سطح لغزش



شکل ۱۲ حداقل قدر مطلق وزن‌های سیستم‌های فازی

شبیه‌سازی‌های عددی انجام شده در محیط نرم‌افزار مطلب، نشان می‌دهد که نمی‌توان نرخ بپره تطبیق را بیش از حد افزایش داد چرا که ناپایداری سیستم حلقه بسته را به دنبال خواهد داشت. از طرفی به خاطر وجود یک جبران‌ساز فازی موازن در تکنیک AFSMC-P، با افزوده شدن نرخ تطبیق، در پاسخ‌دهی سیستم حلقه بسته بهبودی قابل توجهی را شاهد بودیم. بنابراین روش AFSMC-P نسبت به AFSMC برتری قابل قبولی از خود نشان داده است.

6- پیوست (1) جبران‌ساز فازی

از آن جایی که مقاومت بهترین مزیت یک کنترل کننده مدلغزشی است، این روش برای کنترل سیستم‌های غیرخطی به طور گسترده استفاده شده است، مخصوصاً برای سیستم‌هایی که دارای نامعینی بوده و تحت تاثیر اغتشاش قرار دارند. اما برای طراحی کنترل کننده، تکنیک مدلغزشی مرسوم، به اطلاعاتی از مدل سیستم نیازمند است. از طرفی، کنترل کننده منطق فازی، چون برای داشتن یک رفتار کنترلی شبیه انسان، فقط به محاسبات ساده و ظرفیت برنامه‌نویسی نیاز دارد، به طور وسیعی در کاربردهای مهندسی استفاده شده است. از این‌رو، بعضی از محققین، تکنیک کنترل مدلغزشی فازی تطبیقی (AFSMC) را توسعه داده‌اند که مزایای کنترل مدلغزشی و منطق فازی را ترکیب می‌کند [16,15].

استراتژی AFSMC برای جبران خطای تخمین موجود در روند طراحی

مشتق تابع لیپاونوف منفی بوده ($\dot{V} < 0$) و پایداری سیستم حلقه بسته براساس لم باریالت اثبات می‌شود و کلیه سیگنال‌ها نیز به صورت یکنواخت کراندار¹ خواهد بود.

8- پیوست (3)- اثبات قضیه 2

جهت اثبات قضیه 2 یعنی تضمین پایداری در حضور سیستم فازی موازن، تابع لیپاونوفی که شامل خطای بردار وزن‌های بخش تالی سیستم فازی اصلی (یعنی $\tilde{C} = C - \hat{C}$) و نیز خطای بردار وزن‌های بخش تالی سیستم فازی موازن (یعنی $\tilde{P} = P - \hat{P}$) باشد، به صورت زیر انتخاب می‌شود:

$$V = \frac{1}{2}s^2 + \frac{1}{2\beta}\tilde{C}^T\tilde{C} + \frac{1}{2\sigma}\tilde{P}^T\tilde{P} \quad (1-3)$$

با مشتق گرفتن از رابطه (1-3):

$$\dot{V} = s\dot{s} + \frac{1}{\beta}\tilde{C}^T\dot{\tilde{C}} + \frac{1}{\sigma}\tilde{P}^T\dot{\tilde{P}} \quad (2-3)$$

و سپس با جای‌گذاری روابط (6-2) و $\dot{\tilde{C}} = -\hat{C}$ و $\dot{\tilde{P}} = -\hat{P}$ در آن خواهیم داشت:

$$\dot{V} = \tilde{f}(t)s - \eta|s| + s\Delta hu - \tilde{C}^T s\Phi - \tilde{C}^T \frac{1}{\beta}\hat{C} - \tilde{P}^T \frac{1}{\sigma}\hat{P} \quad (3-3)$$

اگر خطای بین خروجی دو سیستم فازی اصلی و موازن به صورت $\epsilon = \tilde{C}^T\Phi - \tilde{P}^T\Phi$ تعریف شود. با فرض قوانین کنترل تطبیقی برای سیستم‌های فازی اصلی و موازن به صورت زیر:

$$\dot{\hat{C}} = \begin{cases} \beta(s\Phi - \Phi\alpha\epsilon + \zeta_1(\hat{P} - \tilde{C})) - \rho|s|\hat{C} & \|\epsilon\| > \delta \\ \beta(s\Phi + \zeta_2(\hat{P} - \tilde{C})) - \rho|s|\hat{C} & \|\epsilon\| < \delta \end{cases} \quad (4-3)$$

$$\dot{\hat{P}} = \begin{cases} \sigma(\Phi\alpha\epsilon + \zeta_4(\hat{P} - \tilde{P}) - \zeta_3\hat{P}) & \|\epsilon\| > \delta \\ \sigma(\zeta_4(\hat{P} - \tilde{P}) - \zeta_3\hat{P}) & \|\epsilon\| < \delta \end{cases} \quad (5-3)$$

و در حالتی که بین خروجی سیستم‌های فازی، خطای بزرگی وجود دارد و در ادامه با قرار دادن روابط (4-3) در رابطه (3-3) روابط زیر به دست خواهد آمد:

$$\begin{aligned} \dot{V} &= \tilde{f}(t)s - \eta|s| + s\Delta hu - \tilde{C}^T s\Phi \\ &\quad - \tilde{C}^T(s\Phi - \Phi\alpha\epsilon + \zeta_1(\hat{P} - \tilde{C}) - \frac{\rho}{\beta}|s|\hat{C}) \\ &\quad - \tilde{P}^T(\Phi\alpha\epsilon + \zeta_4(\hat{P} - \tilde{P}) - \zeta_3\hat{P}) \end{aligned} \quad (6-3)$$

حالا با توجه به روابط $\tilde{C} = C - \hat{C}$ و $\tilde{P} = P - \hat{P}$ و $\hat{P} = \tilde{P} - \tilde{C}$ در آن نوشته:

$$\begin{aligned} \dot{V} &= (\tilde{f}(t) - C^T\Phi)s - \eta|s| + s\Delta hu + \frac{\rho}{\beta}|s|\tilde{C}^T C \\ &\quad - \zeta_4\tilde{P}^T(\tilde{P} - \hat{P}) + \zeta_3\tilde{P}^T C - \frac{\rho}{\beta}|s|\|\tilde{C}\|^2 - \alpha\|\epsilon\|^2 \\ &\quad - \zeta_1\|\tilde{C}\|^2 + \zeta_1\tilde{C}^T\tilde{P} - \zeta_3\|\tilde{P}\|^2 \end{aligned} \quad (7-3)$$

در ادامه با توجه به روابط بین نرم‌ها و با داشتن روابط (7-3) به صورت زیر قبل بازنویسی است:

$$\begin{aligned} \dot{V} &\leq |s|\{-\eta + f_e^{\max} + h_{\max}u_{\max}\} - \frac{\rho}{\beta}|s|\|\tilde{C}\|^2 \\ &\quad - \alpha\|\epsilon\|^2 - [\|\tilde{C}\| \|\tilde{P}\|]Q[\frac{\|\tilde{C}\|}{\|\tilde{P}\|}] + R[\frac{\|\tilde{C}\|}{\|\tilde{P}\|}] \end{aligned} \quad (8-3)$$

که در آن مقدار u_{\max} بیشترین مقدار ممکن برای سیگنال کنترل ($u(t)$) است. حالا اگر $\zeta_3 > \frac{\zeta_1}{4}$ باشد حتماً ماتریس Q مثبت

$$\ddot{x}(t) = -\frac{b}{m}\dot{x}_L + h(t)u(t) + f(t) \quad (5-2)$$

مشتق سطح لغزش به صورت زیر قبل بازنویسی است:

$$\dot{s} = \tilde{f} + \Delta hu(t) - \eta\text{sign}(s) - \tilde{C}^T\Phi \quad (6-2)$$

حالا برای اثبات قضیه 1 تابع لیپاونوفی را شامل سطح لغزش و خطای وزن‌های بخش تالی قواعد فازی ($\tilde{C} = C - \hat{C}$) در نظر بگیرید:

$$V = \frac{1}{2}s^2 + \frac{1}{2\beta}\tilde{C}^T\tilde{C} \quad (7-2)$$

با مشتق گرفتن از آن:

$$\dot{V} = s\dot{s} + \frac{1}{\beta}\tilde{C}^T\dot{\tilde{C}} \quad (8-2)$$

و سپس با قرار دادن رابطه (6-2) در آن و با توجه به این که $\dot{\tilde{C}} = -\hat{C}$

است، به دست می‌آید:

$$\dot{V} = \tilde{f}s - \eta|s| + s\Delta hu - \tilde{C}^T s\Phi - \tilde{C}^T \frac{1}{\beta}\hat{C} \quad (9-2)$$

حال برای آن که \hat{C} شده و سیستم حلقه بسته پایدار گردد، آشکار است که باید قانون تطبیقی، برای بردار وزن‌های \hat{C} به صورت زیر انتخاب گردد:

$$\hat{C} = \beta s\Phi - \rho|s|\hat{C} \quad (10-2)$$

که در آن $0 < \beta$ نرخ تطبیق، ρ پارامتر ثابت و $\rho|s|\hat{C}$ عبارتی برای نرم نمودن تغییرات بردار \hat{C} توسط قانون به روزسانی است. با

جای‌گذاری معادله (10-2) در معادله (9-2) رابطه زیر به دست می‌آید:

$$\dot{V} = \tilde{f}(t)s - \eta|s| + s\Delta hu - \tilde{C}^T s\Phi - \tilde{C}^T \left(s\Phi - \frac{\rho}{\beta}|s|\hat{C}\right) \quad (11-2)$$

و با توجه به رابطه $\hat{C} = C - \tilde{C}$ و با کمی ساده‌سازی می‌توان نوشت:

$$\begin{aligned} \dot{V} &= -\eta|s| + \Delta hu + (\tilde{f} - C^T\Phi)s + \frac{\rho}{\beta}\tilde{C}^T(C - \tilde{C})|s| \\ &= -\eta|s| + (\tilde{f} - C^T\Phi + \Delta hu)s + \frac{\rho}{\beta}\tilde{C}^T C|s| - \frac{\rho}{\beta}\tilde{C}^T\tilde{C}|s| \\ &= -\frac{\rho}{\beta}\tilde{C}^T\tilde{C}|s| + \frac{\rho}{\beta}\tilde{C}^T C|s| - \eta|s| + (\tilde{f} - C^T\Phi + \Delta hu)s \end{aligned} \quad (12-2)$$

با داشتن روابط $|\Delta h| \leq h_{\max}$ و $|\tilde{f} - C^T\Phi| < f_e^{\max}$ در نهایت

$$\dot{V} \leq -\frac{\rho}{\beta}|s|\tilde{C}^T\tilde{C} + \frac{\rho}{\beta}|s|\tilde{C}^T C - |s|\{\eta - f_e^{\max} - h_{\max}u_{\max}\} \quad (13-2)$$

که در آن مقدار u_{\max} بیشترین مقدار ممکن برای سیگنال کنترل ($u(t)$) است. رابطه فوق را در ادامه و با توجه به روابط نرم‌ها می‌توان به صورت زیر نوشت:

$$\dot{V} \leq -\frac{\rho}{\beta}|s|\|\tilde{C}\|^2 + \frac{\rho}{\beta}|s|\|\tilde{C}\|\|C\| - |s|\{\eta - f_e^{\max} - h_{\max}u_{\max}\} \quad (14-2)$$

حالا با انتخاب η طوری که در رابطه زیر صدق کند:

$$\eta > f_e^{\max} + h_{\max}u_{\max} \quad (15-2)$$

و با تعریف $\gamma = \frac{\beta}{\rho}(\eta - f_e^{\max} - h_{\max}u_{\max}) > 0$ خواهیم داشت:

$$\dot{V} \leq -\frac{\rho}{\beta}|s|(\|\tilde{C}\|^2 - \|C\|\|\tilde{C}\| + \gamma) \quad (16-2)$$

برای آن که $\dot{V} < 0$ باشد باید رابطه درجه دوم زیر عبارتی مثبت شود:

$$\|\tilde{C}\|^2 - \|C\|\|\tilde{C}\| + \gamma \geq 4\gamma \quad (17-2)$$

بدین منظور باید فرض کیم که $\|C\|^2 \geq 4\gamma$ بوده و نیز کران بالای خطای تخمین بردار وزن‌های سیستم فازی به صورت

$$\|\tilde{C}\| - \sqrt{\|C\|^2 - 4\gamma} < 0 \quad (17-2)$$

¹ Uniformly Ultimately Bounded (UUB)

- [4] Q. Guo, T. Yu, D. Jiang, Adaptive backstepping design of electro-hydraulic actuator based on state feedback control, *Proceedings of the Fluid International Conference on Power and Mechatronics (FPM)*, Harbin, China, Aug 5-7, 2015.
- [5] D. Won, W. Kim, Disturbance observer based backstepping for position control of electro-hydraulic systems, *International Journal of Control, Automation and Systems*, Vol. 13, No. 2, pp. 488-493, 2015.
- [6] D. Won, W. Kim, D. Shin, C. C. Chung, High-gain disturbance observer-based backstepping control with output tracking error constraint for electro-hydraulic systems, *IEEE Transactions on Control Systems Technology*, Vol. 23, No. 2, pp. 787-795, 2015.
- [7] W. Kim, D. Won, M. Tomizuka, Flatness-based nonlinear control for position tracking of electrohydraulic systems, *IEEE/ASME Transactions on Mechatronics*, Vol. 20, No. 1, pp. 197-206, 2015.
- [8] Q. Guo, T. Yu, D. Jiang, High-gain observer-based output feedback control of single-rod electro-hydraulic actuator, *IET Control Theory & Applications*, Vol. 9, No. 16, pp. 2395-2404, 2015.
- [9] G. Chen, J. Wang, L. Ma, R. Hao, Observer-based and energy saving control of single-rod electro-hydraulic servo system driven by servo motor, *Proceedings of the IEEE American Control Conference (ACC)*, Chicago, IL, USA, July 1-3, 2015.
- [10] E. K. Gdoura, M. Feki, N. Derbel, Sliding mode control of a hydraulic servo system position using adaptive sliding surface and adaptive gain, *International Journal of Modeling, Identification and Control*, Vol. 23, No. 3, pp. 248-259, 2015.
- [11] C. Guan, S. Pan, Adaptive sliding mode control of electro-hydraulic system with nonlinear unknown parameters, *Control Engineering Practice*, Vol. 16, No 11, pp. 1275-1284, 2008
- [12] L. Xiao, B. Lu, B. Yu, Z. Ye, Cascaded sliding mode force control for a single-rod electrohydraulic actuator, *Neurocomputing*, Vol. 156, pp. 117-120, 2015.
- [13] R. Xu, Ü. Ozguner, Sliding mode control of a class of underactuated systems, *Automatica*, Vol. 44, No. 1, pp. 233-241, 2008.
- [14] A. Karami-Mollaee, Design of dynamic sliding mode controller for active suspension system, *Modares Mechanical Engineering*, Vol. 16, No. 2, pp. 51-58, 2016. (in Persian)
- [15] H. Y. Chen, S. J. Huang, A new model-free adaptive sliding controller for active suspension system, *International Journal of Systems Science*, Vol. 39, No. 1, pp. 57-69, 2008.
- [16] S. J. Huang, H. Y. Chen, Adaptive sliding controller with self-tuning fuzzy compensation for vehicle suspension control, *Mechatronics*, Vol. 16, No. 10, pp. 607-622, 2006.
- [17] M. Baghaeian, A. A. Akbari, Improvement of vehicle stability by H-Infinity adaptive fuzzy controller: a new VGS model, *Modares Mechanical Engineering*, Vol. 16, No. 9, pp. 37-46, 2016 (in Persian)
- [18] S. Gayaka, B. Yao, Fault Detection, Identification and accommodation for an electro-hydraulic system: An Adaptive Robust Approach, *Proceedings of the 17th World Congress, The International Federation of Automatic Control*, Seoul, Korea, July 6-11, 2008.

معین شده و $W = \|[\tilde{C} \quad \tilde{P}]^T\| > 0$ خواهد شد. که با فرض $\lambda_{\min}(Q) > 0$ با تعريف:

$$R = \|C\| \left[\frac{\rho}{\beta} |s| - 2\zeta_4 + \zeta_3 \right] \quad (9-3)$$

$$N = |s| \{-\eta + f_e^{\max} + h_{\max} u_{\max}\} - \frac{\rho}{\beta} |s| \|\tilde{C}\|^2 - \alpha \|\epsilon\|^2 < 0 \quad (10-3)$$

رابطه (8-3) را می‌توان به صورت زیر نوشت:

$$\dot{V} \leq -\lambda_{\min}(Q)W^2 + \|R\|W + N \quad (11-3)$$

برای آن که $0 \leq \dot{V}$ گردد باید عبارت درجه دوم زیر منفی شود:

$$-\lambda_{\min}(Q)W^2 + \|R\|W + N \quad (12-3)$$

بدین منظور باید فرض کرد که:

$$\|R\|^2 > 4\lambda_{\min}(Q)|N| \quad (13-3)$$

است و کران بالای ترм دوم خطای تخمین بردار وزن‌های سیستم فازی اصلی و موازی در نامساوی زیر صدق نماید:

$$W = \|[\tilde{C} \quad \tilde{P}]^T\| < \frac{\|R\| - \sqrt{\|R\|^2 + 4\lambda_{\min}(Q)N}}{2\lambda_{\min}(Q)} \quad (14-3)$$

حالا با برقراری رابطه (15) و به دلیل آن که پارامترهای α , ρ و β

همگی مثبت هستند، $0 < \dot{V}$ شده و سیستم حلقه بسته پایدار خواهد شد، و

کلیه سیگنال‌ها نیز به صورت یکنواخت کراندار خواهند بود.

به طریق مشابه و به سادگی برای حالتی که $\delta < \|\epsilon\|$ است می‌توان پایداری را اثبات کرد.

9- منابع

- [1] S. H. Ghorashi, B. Moetakef Imani, Design and implementation of a 2DOF Robust controller for Servo-Hydraulic Table, *Modares Mechanical Engineering*, Vol. 14, No. 15, pp. 207-217, 2015. (in Persian)
- [2] M. A. Saeedi, R. Kazemi, M. Rafat, A. H. Pasdar, Real world modeling and nonlinear control of an electrohydraulic driven clutch, *International Journal of Automotive Engineering*, Vol. 2, No. 2, pp. 107-116, 2012.
- [3] M. Hutter, Ph. Leemann, S. Stevovic, A. Michel, D. Jud, M. Hoepflinger, R. Siegwart, R. Fagi, C. Caduff, M. Loher, S. Tagmann, Towards optimal force distribution for walking excavators, *Proceedings of the IEEE International Conference on Advanced Robotics (ICAR)*, Istanbul, Turkey, July 27-31, 2015.